

محاسبه بارهای آبرودینامیکی وارد بر هواپیما در حین پروازهای عملیاتی

علی غربی^۱ و رضا خاکی^۲

دانشکده مهندسی هوافضा

دانشگاه هوایی شهید سلطانی

(تاریخ دریافت: ۹۰/۱۲/۲۰؛ تاریخ پذیرش: ۹۱/۰۷/۱۴)

چکیده

در این تحقیق نحوه محاسبه بارهای آبرودینامیکی وارد بر یک هواپیما در کلیه شرایط پروازی ارائه شده است. بدین منظور، هواپیمای F-5 به عنوان نمونه انتخاب شده و به دست آوردن معادله برای محاسبه بارهای آبرودینامیکی وارد بر آن در کلیه شرایط پروازی مد نظر قرار گرفته است. جهت تعیین معادله برای محاسبه بارهای آبرودینامیکی، هواپیما در راستای طولی به صد جزء کوچک تقسیم شده است. سپس، حل عددی در شرایط مختلف عدد ماخ، زاویه حمله، تغییرات سطح کنترل و که از پارامترهای مؤثر در اعمال بارهای آبرودینامیکی روی هواپیما می باشند، انجام شده و بارهای آبرودینامیکی وارد به هر یک از این اجزاء در شرایط موصوف به دست آمده اند. با استفاده از بارهای حاصله از حل عددی و پارامترهای مختلف به کار رفته در تعیین این بارهای، از طریق روش کمترین مجذورات، معادلهای برای محاسبه بارهای آبرودینامیکی اعمالی بر هر جزء تعیین شده است. به منظور به دست آوردن مقادیر متغیرهای به کار رفته در معادلات پیش گفته، شبیه سازی پروازی هواپیمای مذکور انجام شده است. جهت اطمینان از دقت شبیه سازی، نتایج حاصل از آن با اطلاعات به دست آمده از آزمایشات پروازی اعتبار سنجی شده است. سرانجام، به عنوان نمونه مانور لوب با استفاده از این شبیه ساز اجرا شده و مقادیر متغیرهای به کار رفته در معادلات، بار آبرودینامیکی اجزاء در حین اجرای این مانور ثبت شده است. با قرار دادن مقادیر حاصله در معادلات موصوف، بارهای آبرودینامیکی اعمالی بر اجزاء در طول مانور محاسبه شده است. نتایج حاصله نشان می دهد که روش عنوان شده جهت محاسبه بارهای آبرودینامیکی هواپیما مناسب می باشد.

واژه های کلیدی: شبیه سازی، مانور لوب، آزمایش پروازی، بارهای آبرودینامیکی، معادلات برگشت

Calculation of Aircraft Aerodynamic Loads During Operational Flight

A. Gharibi and R. Khaki

Aerospace Eng. Dep't

Shahid Sattari Univ. of Air Sci. and Tech.

(Received: 10 March, 2012; Accepted: 5 October, 2012)

ABSTRACT

In this research, the calculation method of aerodynamic loads on an airplane in all flight situations is presented. In order to find an calculation equation for aerodynamic loads on an airplane in all flight conditions, the F-5 aircraft is selected as a prototype is divided into one hundred small parts longitudinally. Therefore, the numerical solutions are taken place in different conditions of Mach number, angle of attack, control surfaces changes, etc., which are the effective parameters. aerodynamic loads on each part is calvulated. Using least squares method, an equation for calculating applied aerodynamic loads on each part is determined. In order to find the variables used in mentioned equations above, an aircraft flight simulation is implemented. The results of flight simulation are validated by flight tests information. Finally, loop maneuver is perform using this simulator and the variables used in aerodynamic loads are recorded, while this maneuver is performed. Then, the aerodynamic loads applied on different parts during loop maneuver are calculated. The results show that the present method is suitable for airplane aerodynamic loads calculations.

Keywords: Flight Simulation, Loop Maneuver, Flight Test, Aerodynamic Loads, Regression Equations

۱- دانشجوی کارشناسی ارشد

۲- استادیار (نویسنده پاسخگو): Reza_khaki@yahoo.com

فهرست علائم

C0- Cn	ضرایب معادلات بار
X1-Xn	پارامترهای پروازی
M	زاویه حمله
dA	عدد ماخ
dE	زاویه سکان افقی
dR	زاویه سکان عمودی
dF	زاویه بالجهها

۱- مقدمه

برای محاسبه عمر خستگی لازم است تا بارهای وارد بر سازه در طول دوره سرویس دهی آن به صورت طیف بار تعیین و محاسبه شود. به همین منظور تحقیقات بسیاری در جهت به دست آوردن بارهای وارد بر سازه هواپیما در طول دوره فعالیت آن انجام شده است. بارهای آبرودینامیکی بخش مهمی از این بارها را در بر می‌گیرد، به همین جهت محققان بسیاری برای تخمین و یا محاسبه این بارها تلاش کرده‌اند.

تخمین غیرخطی بارهای آبرودینامیکی روی صفحات مولد نیروی برا توسط کاندیل^۱ [۱] در سال ۱۹۷۴ انجام شده است. همچنین تخمین غیر خطی بارهای آبرودینامیکی بال-ها و بدنه‌ها در سرعت زیر صوت و زاویه حمله بالا در سال ۱۹۸۰ توسط زهو^۲ و همکارش [۲] مورد تحقیق قرار گرفته است.

در سال ۱۹۹۰ در لار^۳ [۳] در تحقیق دیگری روشی برای تخمین همزمان با آبرودینامیکی و سازه‌ای بال ارائه کرده است.

روش جدیدی برای تخمین پراکندگی طیف بار در سال ۱۹۹۷ میلادی توسط ناگوهد^۴ و همکارش [۴] ارائه شده است. کریمونا^۵ [۵] در خصوص برونیابی بهینه تأثیرات ترافیک بار، سال ۲۰۰۱ میلادی تلاش کرده است.

تخمین عمر خستگی برای طیف بار دلخواه با دامنه

اطلاعاتی ثابت و تحقیق و جستجو روی قسمتی از سیکل بار طیف‌های وارد بر سازه کامپوزیتی توسط اسچون^۶ و همکارش [۶] در سال ۲۰۰۲ میلادی انجام شده است.

تاریخچه طیف بار، برای محاسبه توزیع احتمالی خوردگی‌های محلی مواد تشکیل دهنده هواپیما بر اثر خستگی، در سال ۲۰۰۳ میلادی توسط کیونگ یان^۷ و همکارانش [۷] مورد استفاده قرار گرفته است.

کار^۸ و همکارانش [۸] محاسبه کردن بارهای وارد بر سازه‌های هواپیما در بدترین شکل تند باد با به کار بردن یک الگوریتم محاسباتی را در سال ۲۰۰۴ میلادی ارائه نموده است. در سال ۲۰۰۵ میلادی تولید و استفاده از طیف بار استاندارد شده و تاریخچه زمانی بار جهت محاسبه عمر خستگی توسط هیولر^۹ و همکارش [۹] مورد مطالعه قرار گرفته است.

روشی برای تجزیه و تحلیل حد تحمل صدمه احتمالی هواپیمای آکروباتیک بر اثر انطباق بارهای پروازی در سال ۲۰۰۵ میلادی توسط سلمانسا^{۱۰} و همکارش [۱۰] ارائه شده است.

در سال ۲۰۰۵ میلادی تحقیقاتی پیرامون خصوصیات طیف بار به وسیله ترکیب مدل کردن توزیع آن، توسط تیم^{۱۱} و همکارانش [۱۱] انجام شده است. کیو^{۱۲} و همکارش [۱۲] در سال ۲۰۰۹ میلادی در خصوص بار آبرودینامیکی دم افقی هواپیما تحقیقی ارائه کرده است.

محاسبه بارهای آبرودینامیکی یک هواپیما در طول دوره سرویس دهی آن با استفاده از پارامترهای دستگاه ثبت اطلاعات پروازی در سال ۲۰۰۹ میلادی توسط لی^{۱۳} [۱۳] برای هواپیمای شکاری F-16 انجام شده است. وی در این محاسبات ابتدا به وسیله کرنش‌سنجهای به کار رفته در بعضی از قسمت‌های هواپیما، بار وارد بر آن قسمت‌ها را به دست آورده است. سپس بارهای آبرودینامیکی آن اجزاء را از کم کردن مقادیر بارهای اینرسی از کل بارهای وارد محاسبه

6- Schon

7- Qingyuan

8- Karr

9- Heuler

10- Salamanca

11- Timm

12- Qiu

13- Lee

1- Kandil

2- Peiye

3- Drela

4- Nagode

5- Cremona

اجرای چند مانور، با اطلاعات بهدست آمده از آزمایشات پروازی در حین اجرای این مانورها، اعتبارسنجی گردیده است.

در نهایت به عنوان نمونه مانور لوب با استفاده از شبیه سازی اجرا گردیده است. مقادیر متغیرهای بکار رفته در معادلات برگشت اجزاء، در حین اجرای این مانور ثبت شده است. و بارهای آیروдинامیکی وارد بر بدنه هوایپیما در حین مانور محاسبه گردیده است.

۲- حل عددی جهت محاسبه بارهای آیروдинامیکی
بارهای آیروдинامیکی نتیجه فعالیت توزیع فشارهای آیروдинامیکی روی سطوح خارجی اجزاء هوایپیما می باشند. توزیع فشار مناسب در حالت های مختلف پروازی با استفاده از روش های تحلیلی قابل اندازه گیری و محاسبه نمی باشد. این بارها با استفاده از روش های حل عددی معادلات پیوستگی و ممنتوم حاصل می شوند. در این تحقیق بارهای آیروдинامیکی از طریق حل عددی و با استفاده از نرم افزار فلوئنت^۴ محاسبه شده اند. بدین منظور ابتدا مدل آیروдинامیکی هوایپیما F-5 در نرم افزار تهیه شده است. سپس در شرایط مختلف عدد ماخ، زاویه حمله، تغییرات سطح کنترل که از پارامترهای مؤثر در اعمال بارهای آیروдинامیکی روی هوایپیما می باشند، توزیع فشار و در نتیجه توزیع بارهای آیروдинامیکی حاصل شده است. لازم به ذکر است در رابطه های ارائه شده برای محاسبه بارهای آیروдинامیکی از تأثیرات α و M در قیاس با سایر پارامترها صرف نظر شده است [۱۳].

در تحلیل های عددی انجام شده از حدود ۳,۸۰۰,۰۰۰ المان های غیر ساختاری هرمی استفاده شده است. در این بررسی ها از المان های لایه مرزی استفاده نشده، اما با استفاده از بررسی شبکه و زیاد کردن تعداد المان ها کنار سطح، المان ها در کنار مرز در محدوده ای هستند که مقدار پارامتر Y^+ در بازه قابل قبول (بین ۳۰ و ۶۰) قرار دارد. در این تحلیل ها از مدل سازی توربولانس با روش $k-\epsilon$ استفاده شده است. شکل ۱ نمونه ای از توزیع فشار روی هوایپیما در یک موقعیت پروازی را نشان می دهد.

کرده است. او با استفاده از بارهای آیروдинامیکی بهدست آمده و پارامترهای دستگاه ثبت اطلاعات پرواز معادلات برگشتی^۱ برای محاسبه بارهای آیروдинامیکی هوایپیما در کلیه شرایط پروازی تعیین کرده است. با به کار بردن پارامترهای دستگاه ثبت اطلاعات پرواز^۲ در معادلات برگشت، در هر لحظه از پرواز بارهای آیروдинامیکی وارد بر اجزاء هوایپیما محاسبه شده است.

در تحقیق علمی حاضر، بارهای آیروдинامیکی وارد بر سازه هوایپیما از طریق روش های تحلیلی و با استفاده از اطلاعات بهدست آمده از شبیه سازی پروازی محاسبه شده است. بدین منظور هوایپیما F-5 به عنوان نمونه انتخاب شده و حل عددی به منظور به دست آوردن میزان بارهای آیروдинامیکی هوایپیما در شرایط مختلف پروازی انجام شده است. شرایط مختلف پروازی در برگیرنده تغییرات عدد ماخ، زاویه حمله، زاویه سطوح کنترل و غیره می باشند. سپس هوایپیما در راستای طولی به صد جزء تقسیم شده و مقدار بار آیروдинامیکی اعمالی به هر جزء در شرایط عنوان شده به دست آمده است.

تعیین بارهای آیروдинامیکی هوایپیما در کلیه شرایط پروازی یا جهت کلیه پروازها از طریق حل عددی مقدور نمی باشد. همچنین از طریق روش های تحریبی نیز این عمل مقرن به صرفه نخواهد بود. بنابراین لازم است تا با استفاده از بارهای آیروдинامیکی به دست آمده از حل عددی، روشی برای تخمین میزان بارهای آیروдинامیکی وارد بر اجزاء هوایپیما در تمامی شرایط پروازی تعیین گردد.

بدین منظور با استفاده از بارهای آیروдинامیکی بدست آمده از حل های عددی در حالت های مختلف و پارامترهای شرایط پروازی و روش کمترین مجددات^۳ معادله برگشتی جهت محاسبه بارهای آیروдинامیکی هر یک از اجزاء در کلیه شرایط پروازی تعیین گردیده است.

برای به دست آوردن مقادیر متغیرهای بکار رفته در معادلات برگشت اجزاء، شبیه سازی دینامیکی هوایپیما موصوف انجام شده است. میزان دقت شبیه سازی از طریق مقایسه اطلاعات حاصله از آن در حین

1- Regression Equation

2- Flight Data Recorder

3- Least Squares Method

معادلات برگشت استفاده شده است. روش برگشت یک روش آماری برای تعیین کردن ارتباط بین یک متغیر وابسته و یک یا چند متغیر مستقل است. از این روش برای برقراری ارتباط بین بارهای آیرودینامیکی اندازه‌گیری شده و پارامترهای پروازی به کار رفته در حل عددی استفاده شده است. برقراری این ارتباط باعث به وجود آوردن معادله‌ای شده که معادله بار هر جزء نامیده می‌شود.

شکل عمومی معادله برگشت بارهای آیرودینامیکی اجزاء به شرح ذیل است:

$$\text{Aerodynamic Load} = C_0 + C_1 \cdot x_1 + C_2 \cdot x_2 + \dots + C_n \cdot x_n. \quad (1)$$

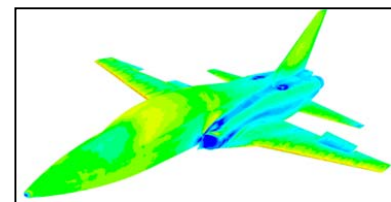
در این معادله C_0 تا C_n ضرایب معادلات بار و x_1 تا x_n پارامترهای پروازی می‌باشند. پارامترهای پروازی تأثیرگذار در محاسبه بارهای آیرودینامیکی اجزاء، عدد ماخ، زاویه حمله، زاویه سکان افقی، زاویه سکان عمودی و زاویه شهپرها می‌باشند. با تعیین ضرایب معادله فوق برای هر جزء به وسیله روش برگشت، معادله‌ای جهت محاسبه بارهای آیرودینامیکی تمامی اجزاء بدنه هواپیما به دست آمده است. به عنوان مثال، معادله بارهای آیرودینامیکی برشی محلی^۱ جزء ۳۶ بدنه به شرح ذیل می‌باشد:

$$\begin{aligned} \text{Aerodynamic Load} &= -186.9 + 7.73 * \alpha + 395.09 * M + \\ &1.3 * dA - 5.26 * dE + \\ &4.2 * dR + 11.6 * dF. \end{aligned} \quad (2)$$

در معادله فوق، α زاویه حمله، M عدد ماخ، dA زاویه شهپرها، dE زاویه سکان افقی، dR زاویه سکان عمودی و dF زاویه بالچه‌ها می‌باشند.

جهت بررسی میزان دقیق معادلات بارهای آیرودینامیکی اجزاء، بارهای حاصل از معادلات برگشتی حاصله با حل‌های عددی مقایسه شده‌اند.

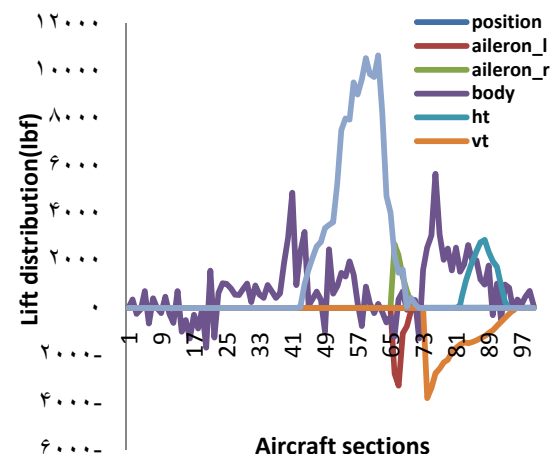
شکل‌های ۳-۶ نمونه‌ای از نسبت توزیع بار حاصل از معادلات بارهای آیرودینامیکی و توزیع بار حاصله از حل عددی را در دو موقعیت پروازی نشان می‌دهند. محور افقی در این اشکال توزیع بارهای آیرودینامیکی حاصل از حل عددی و محور عمودی توزیع بارهای آیرودینامیکی حاصل از معادلات بار را نمایش می‌دهند. نزدیکتر شدن نقاط



شکل (۱): نمونه‌ای از توزیع فشار روی مدل هواپیما در نرمافزار.

در شکل ۲ نمونه‌ای از توزیع نیروی برا در راستای طولی روی قسمت‌های مختلف هواپیما در یک موقعیت پروازی نشان داده شده است.

به دلیل اینکه به دست آوردن بارهای آیرودینامیکی در کلیه شرایط پروازی و برای انواع پروازهای یک هواپیما با استفاده از حل عددی امکان‌پذیر نیست. همچنین، تعیین این بارها در پروازهای مختلف از طریق میان‌بابی نیز محدود نیست. بنابراین در این مقاله تعیین معادله برگشت جهت محاسبه بارهای آیرودینامیکی اجزاء بدنه هواپیما با استفاده از بارهای آیرودینامیکی به دست آمده از طریق نرمافزار و پارامترهای به کار رفته در همان شرایط پروازی مد نظر قرار گرفته است.

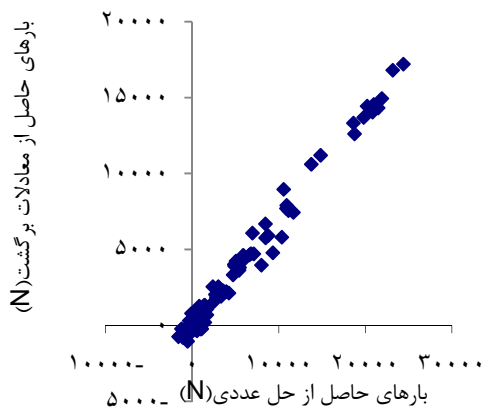


شکل (۲): نمونه‌ای از توزیع نیروی برا روی مدل هواپیما در نرمافزار.

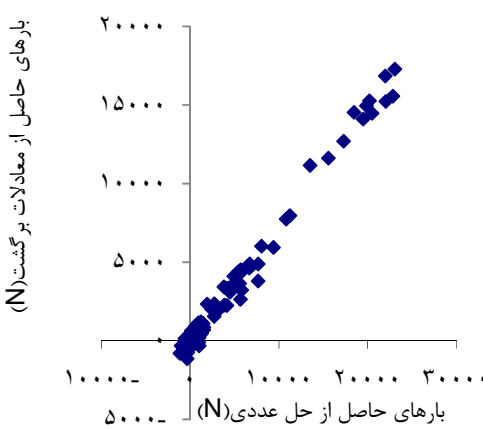
۳- تعیین معادله مناسب جهت بارهای آیرودینامیکی برای تعیین معادله مناسب جهت محاسبه بارهای آیرودینامیکی اجزاء (در راستای طولی هواپیما) از روش

۴- مراحل شبیه‌سازی

برای انجام شبیه‌سازی دینامیکی یا پرواز با شبیه‌ساز لازم است تا پس از مدل کردن معادلات غیر خطی هوایپما مشتقات پایداری به صورت لحظه‌ای و در شرایط مختلف پروازی محاسبه شوند. بدین این منظور مشتقات مورد نظر برای هوایپیما F_{5B} از طریق روش‌های عددی در شرایط مختلف پروازی همچون شرایط مختلف سرعت صوت، ارتفاع، زاویه حمله، زاویه سطوح کنترل و غیره به دست آمدند.

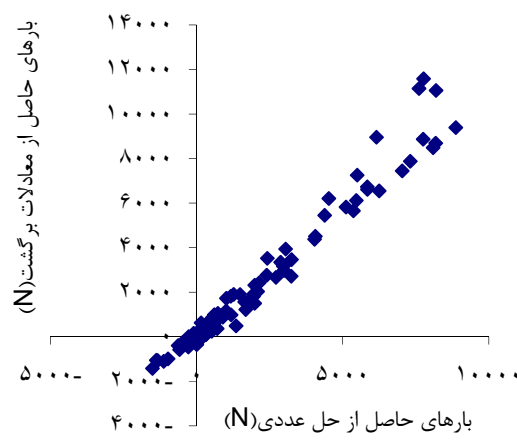


شکل (۵): ارتباط بین بارهای آیروдинامیکی معادلات برگشت و حل عددی در زاویه حمله ۱۰ درجه، عدد ماخ ۰/۷، زاویه سکان افقی ۵ درجه، زاویه سکان عمودی و شهرپر صفر.

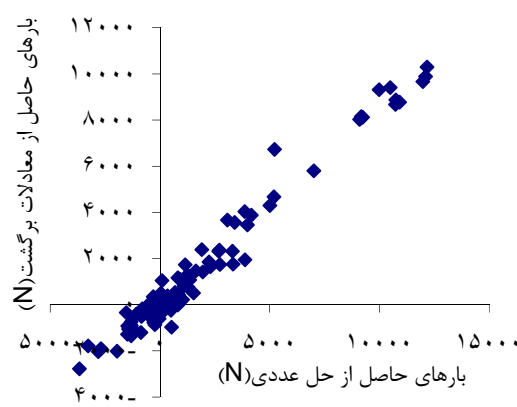


شکل (۶): ارتباط بین بارهای آیروдинامیکی معادلات برگشت و حل عددی در زاویه حمله ۱۰ درجه، عدد ماخ ۰/۷، زاویه شهرپر ۱۱/۴۳ درجه، زاویه سکان افقی و عمودی شهرپر صفر.

علامت‌گذاری شده در شکل‌های ۳-۶ به خط $y=x$ نشان‌دهنده مدل سازی بهتر بارهای آیرودينامیکی توسط معادلات برگشت می‌باشد. بنابراین این موضوع نشان‌دهنده دقیق بالای معادلات بار خواهد بود. همان‌گونه که در شکل‌های ۳-۶ دیده می‌شود، توزیع بار آیرودينامیکی حاصل از معادلات برگشت اجزاء بدن و توزیع بار به دست آمده از حل عددی در شرایط یکسان دارای رابطه خطی می‌باشد. بنابراین، این معادلات جهت محاسبه بارهای آیرودينامیکی هوایپما مطلوب می‌باشند.



شکل (۳): ارتباط بین بارهای آیرودينامیکی معادلات برگشت و حل عددی در زاویه حمله ۵ درجه، عدد ماخ ۰/۵۹۷، زاویه سکان افقی ۱۰ درجه، زاویه شهرپر و سکان عمودی صفر.



شکل (۴): ارتباط بین بارهای آیرودينامیکی معادلات برگشت و حل عددی در زاویه حمله ۵ درجه، عدد ماخ ۰/۷۴۶، زاویه سکان افقی ۵ درجه، زاویه سکان عمودی و شهرپر صفر.

جدول (۱): پارامترهای مانور لوب حاصل از شبیه‌سازی.

وضعیت	سرعت	زاویه پیچش	ماخ	فاکتور بار عمودی
۱ (شروع)	۵۰۱/۵۱	۱/۹۵	۰/۸۸	۰/۹۹
۲	۴۴۵/۴۹	۴۵/۰۲	۰/۷۹۶	۴/۴۵
۳	۳۴۷/۸۶	۸۹/۵	۰/۶۶۱	۳/۴۷
۴	۲۲۵/۶۴	واژگون ۰/۰۲۷	۰/۴۵۱	۱/۲۲
۵	۲۵۱/۵۲	-۴۵/۰۱	۰/۵	۱/۸۲
۶	۳۲۸/۹۳	-۸۹/۶۷	۰/۶۴	۳/۲۲
۷	۴۴۲/۷۴	-۴۵	۰/۷۹	۳/۸۷
۸ (خاتمه)	۴۹۹/۹۲	-۱/۰۶	۰/۸۵۹	۰/۹۸

جدول (۲): اطلاعات مانور لوب حاصل از تجربه.

وضعیت	سرعت	زاویه پیچش	فاکتور بار عمودی
۱ (شروع)	۵۰۰	۰	۱
۲	۴۵۰	۴۵	۴/۵
۳	۳۵۰	۹۰	۳/۵
۴	۲۰۰	واژگون ۰	۱/۲
۵	۲۵۰	-۴۵	۲
۶	۳۰۰	-۹۰	۳
۷	۴۴۰	-۴۵	۳/۵
۸	۵۰۰	۰	۱

جدول (۳): پارامترهای مانور شاندل حاصل از شبیه‌سازی.

وضعیت	سرعت	مقدار گردش	ماخ	فاکتور بار عمودی
۱ (شروع)	۴۰۰	۰	۰/۷۱	۱
۲	۳۶۳/۹	۴۵	۰/۶۸	۳/۵۱
۳	۳۱۰/۹	۹۰	۰/۶۱	۲/۸۸
۴	۲۷۱/۷	۱۳۵	۰/۵۲	۱/۹
۵	۲۰۰/۹	۱۸۰	۰/۳۹	۱

این مشتقات به صورت جدول مراجعه ای^۱ در نرم افزار تنظیم شده‌اند تا با استفاده از این جداول نرم‌افزار بتواند در موقعیت‌ها و شرایط پروازی مختلف با استفاده از میان‌یابی مشتق مورد نظر را محاسبه کند.

بعد از محاسبه مشتقات، ضرایب و در نتیجه نیروها و گشتاورهای آبرودينامیکی از معادلات شبیه‌سازی به دست آمده است. از نیروها و گشتاورهای حاصله برای به دست آوردن سرعت‌های خطی و زاویه‌ای، زوایای اویلر، زاویه حمله و زاویه سرش جانی استفاده شده است. جهت بیشتر نزدیک کردن شرایط شبیه‌سازی به شرایط واقعی ورودی‌های مربوط به تعییرات نیروی رانش و جابه‌جایی سطوح کنترلی توسط خلبان با استفاده از دسته کنترل^۲ به برنامه شبیه‌سازی اعمال شده است.

۵- اعتبارسنجی شبیه‌سازی

به منظور بررسی صحت نتایج حاصل از شبیه‌سازی، پارامترهای مانورهای لوب و شاندل که از مانورهای مهم هواپیما می‌باشند، در حین انجام چندین پرواز واقعی ثبت شده است. پس از اجرای این مانورها به وسیله شبیه‌سازی اطلاعات به دست آمده از شبیه‌سازی با اطلاعات حاصل از آزمایشات پروازی مقایسه شده است. پارامترهای به دست آمده از شبیه‌سازی در جدول‌های ۱ و ۳ و اطلاعات حاصله از تجربه در جدول‌های ۲ و ۴ ارائه شده است.

سرعت‌های به دست آمده از شبیه‌سازی و آزمایش پروازی در زاویه‌های پیچش^۳ مختلف در شکل ۷ با یگدیگر مقایسه شده‌اند.

در شکل ۸ مقایسه بین فاکتورهای بار عمودی حاصله از شبیه‌سازی و تجربه در زاویه‌های پیچش مختلف نمایش داده شده است.

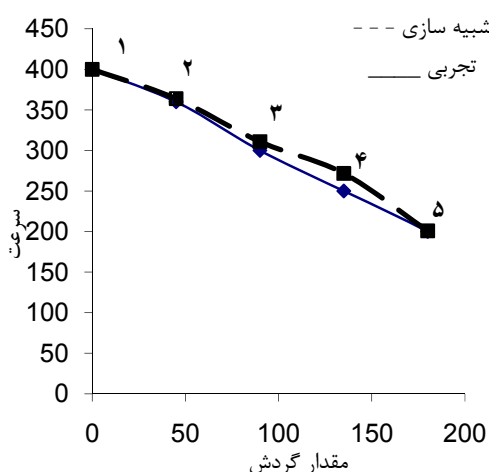
مقایسه بین سرعت‌های شبیه‌سازی و تجربی در موقعیت‌های مختلف گردش حین اجرای مانور شاندل در شکل ۹ و مقایسه فاکتورهای بار عمودی در این موقعیت‌ها در شکل ۱۰ نمایش داده شده است.

1-Look- up Table

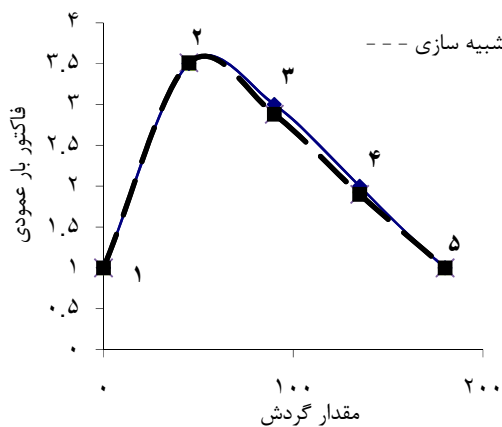
1- Joy Stick

2- Pitch Angles

مقایسه فاکتور بار عمودی و سرعت در حین انجام مانور لوب و شاندل توسط شبیه‌سازی پروازی با فاکتور بار عمودی و سرعت ثبت شده حین اجرای تجربی این مانورها نشان-دهنده خطای پایین شبیه‌سازی پروازی می‌باشد. به طوری-که میزان خطا بین پارامترهای حاصله از شبیه‌سازی و تجربه کمتر از ۱۳ درصد است. نتایج حاصله نشان دهنده دقیق مناسب شبیه‌سازی پروازی هوایپیما است. بنابراین می‌توان جهت محاسبه بارهای آیرودينامیکی هوایپیما از پارامترهای شبیه‌سازی استفاده کرد.



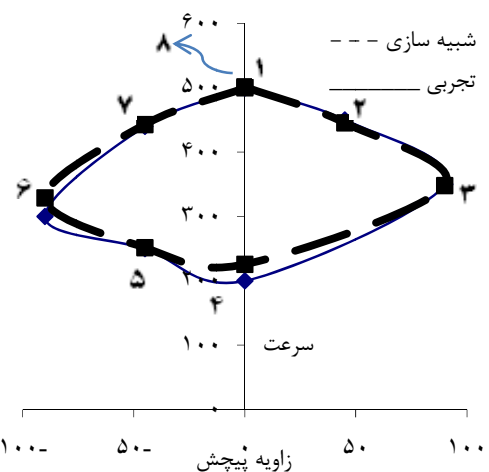
شکل (۹): مقایسه سرعت‌های شبیه‌سازی و تجربی در موقعیت‌های مختلف گردش، حین اجرای مانور شاندل.



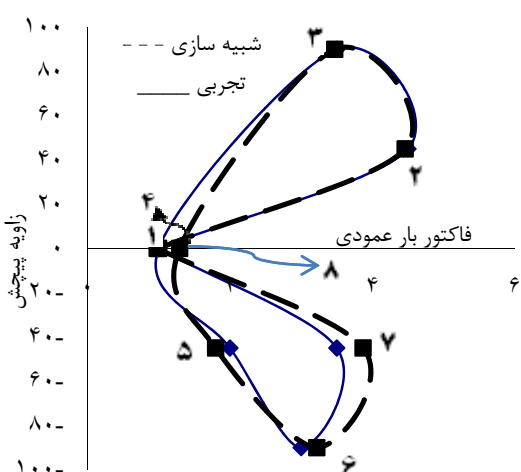
شکل (۱۰): مقایسه فاکتورهای بار عمودی شبیه‌سازی و تجربی در زاویه‌های پیچش مختلف، حین اجرای مانور شاندل.

جدول (۴): اطلاعات مانور شاندل حاصل از تجربه.

وضعیت	سرعت	مقدار گردش	فاکتور بار عمودی
۱ (شروع)	۴۰۰	۰	۱
۲	۳۶۰	۴۵	۳/۵
۳	۳۰۰	۹۰	۳
۴	۲۵۰	۱۳۵	۲
۵	۲۰۰	۱۸۰	۱



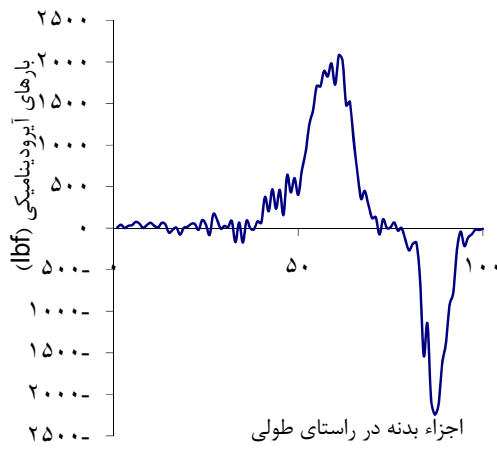
شکل (۷): مقایسه سرعت‌های شبیه‌سازی و تجربی در زاویه‌های پیچش مختلف، حین اجرای مانور لوب.



شکل (۸): مقایسه فاکتورهای بار عمودی شبیه‌سازی و تجربی در زاویه‌های پیچش مختلف، حین اجرای مانور لوب.

۷- نتایج حاصله

شکل ۱۵ تغیرات عدد ماخ، شکل ۱۶ تغیرات زاویه حمله و شکل ۱۷ تغیرات سکان افقی در زوایای مختلف پیچش حین اجرای مانور لوب را نشان می‌دهند.



شکل (۱۲): توزیع بار آبودینامیکی هواپیما در زاویه پیچش ۱۵ درجه.

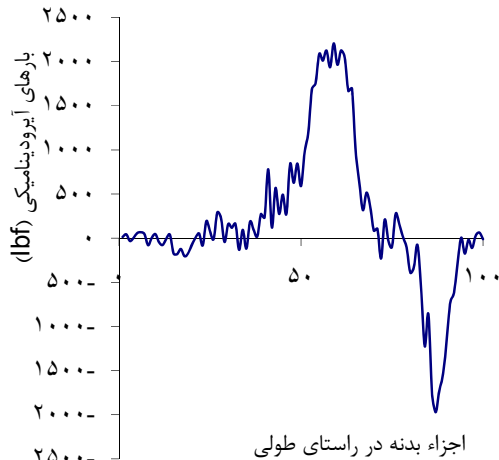
جدول (۵): نمونه‌ای از مقادیر متغیرهای به کار رفته در معادلات، به دست آمده از شبیه‌سازی حین اجرای مانور لوب.

Pitch angle	M	α	dE	dA	dR	F
۰	۰/۹۲	۱/۲۱	-۱/۲۰	۰/۰۷	۰	۰
۳۰	۰/۸۷	۷/۲۳	-۱۷/۰۲	۰/۰۹	۰	۰
۶۰	۰/۷۹	۱۰/۴۴	-۳۵/۰۰	۰/۰۲	۰	۰
۹۰	۰/۶۸	۱۰/۴۰	-۳۵/۰۰	۰/۵۴	۰	۰
۱۲۰	۰/۵۶	۱۰/۵۳	-۳۰/۹۹	۱/۰۰	۰	۰
۱۵۰	۰/۴۷	۱۰/۵۳	-۲۴/۹۹	۰/۶۲	۰	۰
۱۸۰	۰/۴۵	۱۰/۶۶	-۲۲/۹۹	۰/۱۷	۰	۰
۲۱۰	۰/۴۸	۱۰/۸۲	-۲۳/۰۰	۰/۰۲	۰	۰
۲۴۰	۰/۵۷	۱۰/۵۴	-۲۶/۹۹	۰/۹۵	۰	۰
۲۷۰	۰/۶۹	۱۰/۲۷	-۳۵/۰۰	۰/۳۴	۰	۰
۳۰۰	۰/۸۰	۷/۶۸	-۲۱/۱۸	۰/۰۷	۰	۰
۳۳۰	۰/۸۶	۶/۳۳	-۱۰/۴۳	۰/۰۳	۰	۰
۳۶۰	۰/۸۸	۱/۳۷	-۱/۱۲	۰/۰۶	۰	۰

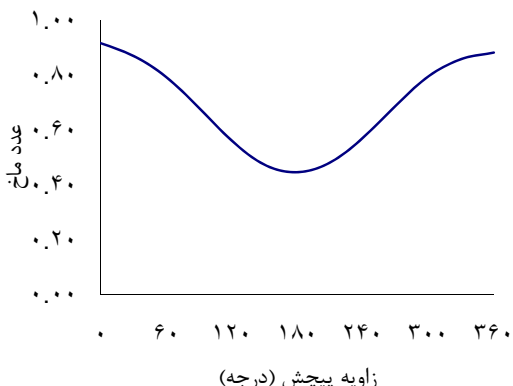
۶- به دست آوردن توزیع بارهای آبودینامیکی هواپیما

جهت به دست آوردن توزیع بارهای آبودینامیکی هواپیما لازم است تا بارهای آبودینامیکی بر شی محلی اجزاء محاسبه شود. بدین منظور برای به دست آوردن مقادیر متغیرهای به کار رفته در معادلات محاسبه بارهای آبودینامیکی اجزاء بدن هواپیما در حین مانور لوب، این مانور توسط شبیه‌سازی اجرا شده است. مقادیر متغیرهای مربوطه در بازه‌های زمانی کوچک حین اجرای مانور ثبت شده است. جدول ۵ نمونه‌ای از این مقادیر در زاویه‌های پیچش مختلف را نشان می‌دهد. مقادیر ثبت شده در جدول ۵ در معادلات محاسبه بارهای آبودینامیکی اجزاء بدن قرار گرفته و باز آبودینامیکی بر شی محلی هر جزء بدن در زاویه‌های پیچش قید شده شده است. پس از آن توزیع بارهای آبودینامیکی بدن به دست آمده است.

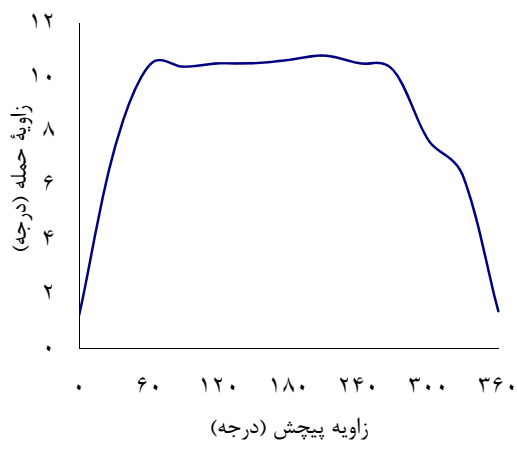
در شکل‌های ۱۱-۱۴ توزیع بارهای آبودینامیکی بدن در چند زاویه پیچش ارائه شده است. در این اشکال محور افقی معرف ۱۰۰ قسمت بدن در راستای طولی بوده و محور عمودی بار آبودینامیکی را نشان می‌دهد.



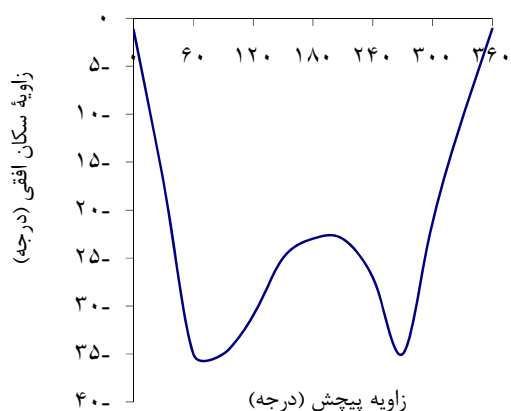
شکل (۱۱): توزیع بار آبودینامیکی هواپیما در زاویه پیچش ۳۰ درجه.



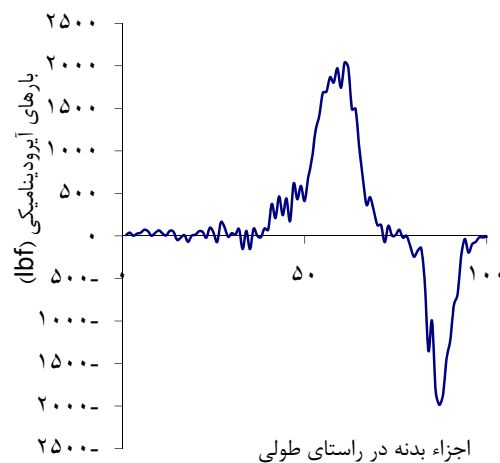
شکل (۱۵): تغییرات عدد ماخ در زاویه‌های مختلف پیچش.



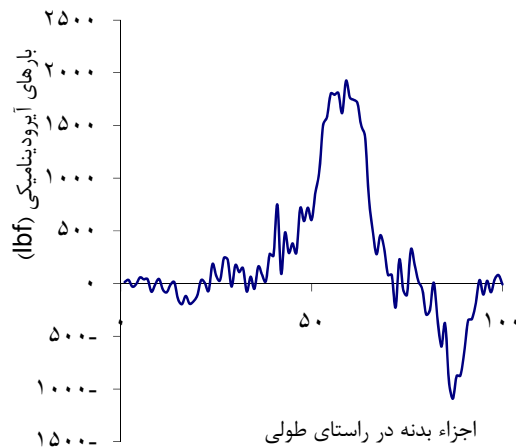
شکل (۱۶): تغییرات زاویه حمله در زاویه‌های مختلف پیچش.



شکل (۱۷): تغییرات سکان افقی در زاویه‌های مختلف پیچش.



شکل (۱۳): توزیع بار آیرودینامیکی هوایپیما در زاویه پیچش ۲۱۰ درجه.



شکل (۱۴): توزیع بار آیرودینامیکی هوایپیما در زاویه پیچش ۳۳۰ درجه.

برای تجزیه و تحلیل بهتر بارهای آیرودینامیکی وارد بر بدنه حین اجرای مانور لوب، این مانور به چهار قسمت تقسیم شده است. زاویه پیچش صفر تا زاویه پیچش ۹۰ درجه ربع اول، زاویه ۹۰ تا ۱۸۰ (واژگون) ربع دوم، ۱۸۰ تا ۲۷۰ ربع سوم و ۲۷۰ تا ۳۶۰ (صفر) درجه ربع چهارم مانور را تشکیل داده‌اند. سپس در هر یک از این چهار قسمت میزان بارهای آیرودینامیکی اعمالی به هوایپیما در وضعیت‌های مختلف با یکدیگر مقایسه شده است.

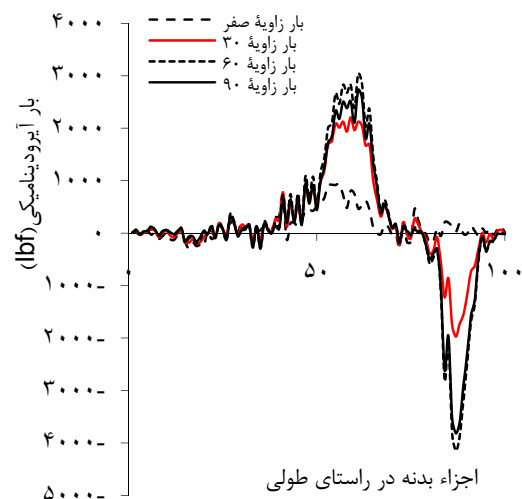
در شکل ۱۸ توزیع بارهای آیرودینامیکی در ربع اول مانور مقایسه شده است.

همچنین در این ربع با افزایش زاویه پیچش میزان بار آبودینامیکی واردہ بر اجزاء عقبی هواپیما (در جهت عکس) کاهش یافته است.

در شکل ۲۰ توزیع بارهای آبودینامیکی واردہ بر هواپیما در ربع سوم مانور لوب ارائه شده است. همان‌طور که در شکل دیده می‌شود، با افزایش زاویه پیچش میزان بارهای آبودینامیکی اعمالی بر قسمت‌های میانی هواپیما افزایش ناچیزی می‌یابد. همچنین با افزایش زاویه پیچش میزان بارهای اعمالی بر اجزاء عقبی هواپیما نیز در جهت عکس افزایش می‌یابد.

با توجه به جدول ۵ و شکل‌های ۱۵-۱۷ چنین استنباط می‌شود که با افزایش زاویه پیچش در این ربع زاویه حمله حدوداً ۳/۳ کاهش یافته ولی عدد ماخ حدوداً ۵۴٪ افزایش یافته است. بنابراین، افزایش چشمگیر عدد ماخ در این وضعیت‌ها باعث افزایش میزان بار اعمالی به قسمت‌های میانی بدن هواپیما شده است. کاهش (افزایش در جهت عکس) زاویه سکان افقی دلیل کاهش (افزایش در جهت عکس) بارهای واردہ بر قسمت‌های عقبی هواپیما می‌باشد. همچنین ثابت ماندن زاویه سکان افقی در زاویه پیچش ۱۸۰ و ۲۱۰ درجه سبب عدم تغییر میزان بارهای اعمالی به قسمت‌های عقبی هواپیما شده است. در این ربع نیز میزان بارهای اعمالی بر قسمت‌های جلوی بال‌ها در تمامی وضعیت‌ها تقریباً ثابت است.

شکل ۲۱ مقایسه بارهای آبودینامیکی اعمالی به هواپیما در ربع چهارم مانور لوب را نشان می‌دهد. با افزایش زاویه پیچش در این ربع میزان بارهای آبودینامیکی واردہ بر هواپیما کاهش می‌یابد. همان‌گونه که در جدول ۵ و شکل‌های ۱۵-۱۷ دیده می‌شود، با افزایش زاویه پیچش عدد ماخ تقریباً ۲۷٪ افزایش و مقادیر زاویه حمله حدوداً ۸۷٪ کاهش یافته است. در این ربع کاهش شدید مقدار زاویه حمله باعث کاهش میزان بارهای آبودینامیکی اعمالی بر قسمت‌های میانی بدن هواپیما شده است. همچنین افزایش (کاهش در جهت عکس) زاویه سکان افقی باعث کاهش (در جهت عکس) بارهای اعمالی به قسمت‌های عقبی هواپیما شده است.



شکل (۱۸): مقایسه توزیع بار آبودینامیکی در ربع اول مانور لوب.

همان‌طور که در شکل دیده می‌شود، در زاویه پیچش ۶۰ درجه بیشترین بار آبودینامیکی بر قسمت‌های میانی بدن هواپیما در محل نصب بال‌ها اعمال شده است. همچنین در این وضعیت بار آبودینامیکی زیادی بر اجزاء عقبی بدن در محل نصب سکان افقی در جهت عکس اعمال شده است. زیرا همان‌گونه که در جدول ۵ و شکل‌های ۱۵-۱۶ دیده می‌شود، در این موقعیت گرچه عدد ماخ نسبت به دو موقعیت قبلی کاهش داشته ولی زاویه حمله افزایش یافته و زاویه سکان افقی نسبت به دو موقعیت قبلی کاهش یافته است.

شکل ۱۹ مقایسه بارهای آبودینامیکی اعمالی به هواپیما در ربع دوم مانور لوب را نشان می‌دهد. با توجه به شکل ۱۹ و جدول ۵ و همچنین شکل‌های ۱۵-۱۶ مشخص می‌شود که در طی این وضعیت‌ها با افزایش زاویه پیچش، زاویه حمله افزایش ناچیزی (حدود ۲ درصد) داشته به طوری که می‌توان گفت بدون تغییر بوده است. ولی عدد ماخ کاهش قابل توجهی (حدود ۳۶ درصد) داشته است. افزایش ناچیز زاویه حمله و کاهش قابل توجه عدد ماخ سبب کاهش بار اعمالی به قسمت‌های میانی بدن هواپیما شده است. در این ربع مانور نیز همانند ربع اول میزان بار آبودینامیکی واردہ بر اجزاء جلوتر از محل نصب بال‌های هواپیما، در تمامی وضعیت‌ها تقریباً همچنان ثابت است.

به طور کلی، چنین مشهود است که افزایش یا کاهش زاویه حمله و عدد ماخ تأثیر بهسزایی روی افزایش یا کاهش میزان بارهای آبرودینامیکی اعمالی به قسمت‌های میانی هواپیما دارد. با توجه به مقدار تغییرات قابل توجه زاویه حمله در طول مانور لوب، نقش زاویه حمله در میزان بارهای آبرودینامیکی بیشتر از عدد ماخ است.

در وضعیت‌هایی از مانور که زاویه حمله ثابت بوده یا تغییرات ناچیزی داشته است، کاهش یا افزایش عدد ماخ باعث کاهش یا افزایش میزان بارهای اعمالی به هواپیما شده است. میزان بارهای اعمالی بر اجزاء جلویی بدنه هواپیما در طول مانور تقریباً یکسان بوده و فقط در بعضی از وضعیت‌ها تغییر ناچیزی داشته است.

تغییرات زاویه سکان افقی عامل مهمی در تغییرات بارهای اعمالی بر قسمت‌های عقبی هواپیما می‌باشد. گرچه به طور غیر مستقیم نیز این تغییرات روی بارهای اعمالی بر قسمت‌های جلویی مؤثر می‌باشند.

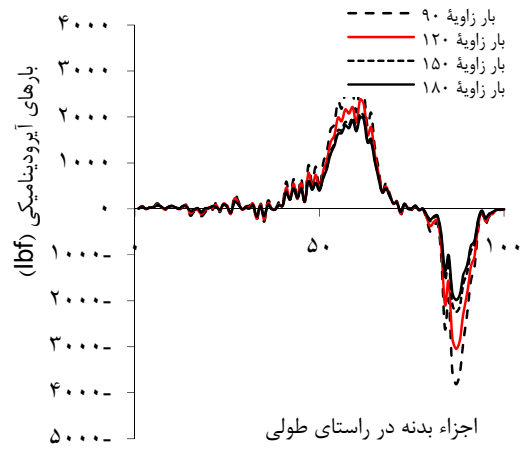
همان‌گونه که ارائه شد متحننی‌ها و محاسبات ارائه شده جهت به دست آوردن توزیع بارهای آبرودینامیکی بر شی در راستای بدنه بوده است. بدینه است برای به دست آوردن میزان بار آبرودینامیکی بر شی در مقطع، باید از مجموع بارهای بر شی اجزاء، تا آن مقطع استفاده نمود. همچنین برای محاسبه میزان ممان خمی، از مجموع ممان حاصل از بارهای بر شی اجزاء تا آن مقطع استفاده می‌شود.

۸- نتیجه‌گیری

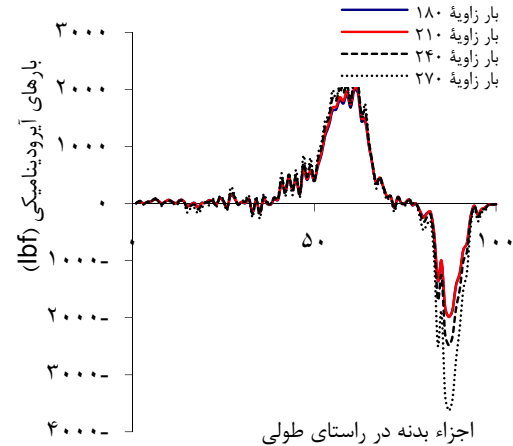
ارتباط بین بارهای آبرودینامیکی حاصله از حل عددی و معادلات به دست آمده از روش برگشت خطی می‌باشد. بنابراین معادلات به دست آمده از این روش جهت محاسبه بارهای آبرودینامیکی هوایپیما مطلوب می‌باشند.

مقایسه نتایج شبیه‌سازی پروازی با پارامترهای ثبت شده در حالت‌های مشابه در پرواز واقعی، نشانگر خطای پایین نتایج شبیه‌سازی پروازی می‌باشد. این خطای کمتر از ۱۳ درصد است. بنابراین پارامترهای حاصله از شبیه‌سازی پروازی برای محاسبه بارهای اینرسی هوایپیما مناسب می‌باشند.

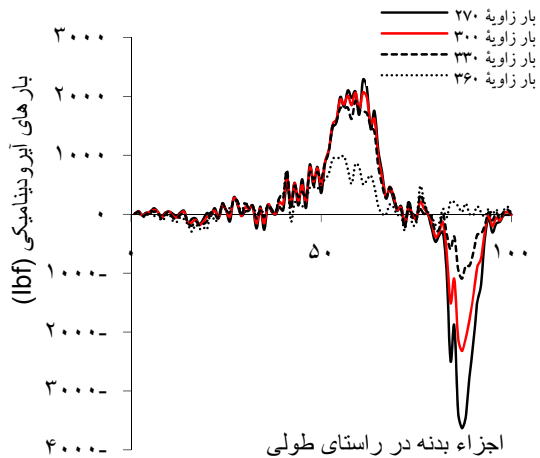
تغییرات ۸۹ درصدی (بین کمترین و بیشترین مقدار) زاویه حمله و تغییرات ۵۲ درصدی عدد ماخ در حین اجرای



شکل (۱۹): مقایسه توزیع بار آبرودینامیکی در ربع دوم مانور لوب.



شکل (۲۰): مقایسه توزیع بار آبرودینامیکی در ربع سوم مانور لوب.



شکل (۲۱): مقایسه توزیع بار آبرودینامیکی در ربع چهارم مانور لوب.

3. Drela, M. "Method for Simultaneous Wing Aerodynamic and Structural Load Prediction", AIAA. J. Aircraft, Vol. 27, No. 8, pp. 692-699, 1990.
4. Nagode, M. and Fajdiga, M. "On a New Method for Prediction of the Scatter of Loading Spectra", Int. J. Fatigue, Vol. 20, No. 4, pp. 271-277, 1998.
5. Cremona, Ch. "Optimal Extrapolation of Traffic Load Effects", Structural Safety J., Vol. 23, No. 1, pp. 31-46, 2001.
6. Schon, J. and Blom, A. "Fatigue Life Prediction and Load Cycle Elimination during Spectrum Loading of COMPOSITES", Int. J. Fatigue, Vol. 24, No's. 2-4, pp. 361-367, 2002.
7. Qingyuan, W., Kawagoishi, N., and Pidaparti, R.M. "Evaluation of the Probability Distribution of Pitting Corrosion Fatigue Life in Aircraft Materials", Acta Mechanica Sinica, Vol. 19, No. 3, pp. 247-252, 2003.
8. Karr, Ch., Zeiler, T.A., and Mehrotra, R. "Determining Worst-case Gust Loads on Aircraft Structures, Using an Evolutionary Algorithm", Applied Intelligence J., Vol. 20, No. 2, pp. 135-145, 2004.
9. Heuler, P. and Klatschke, H. "Generation and Use of Standardized Load Spectra and Load – time Histories", Int. J. Fatigue, Vol. 27, No. 8, pp. 947-990, 2005.
10. Salamanca, E.H. and Quirz, L.L. "Superposition of Flight Loads for a Probabilistic Damage Tolerance Design for an Acrobatic Aircraft", Int. J. Aircraft Eng. and Aerospace Tech., Vol. 77, No. 6, pp. 478-485, 2005.
11. Timm, D.H., Tisdale, M.S., and Turochy, R.E. "Axe Load Spectra Characterization by Mixed Distribution Modeling", J. Transportation Eng., Vol. 131, No. 2, pp. 83-88, 2005.
12. Qiu, J.U. and Qin, S. "Research of Aerodynamic Load of Horizontal Tail", Industrial Elect. and Applications, 2009. ICIEA 2009. 4th IEEE Conf., pp.1503-1506, 25-27 May 2009.
13. Lee, H. "Advanced Aircraft Service Life Monitoring Method via Flight –by –Flight Load Spectra", Binghamton Univ., State Univ. of New York, 2009.

مانور لوپ نشان‌دهنده آنست که میزان بارهای آبرودینامیکی واردہ بر قسمت‌های میانی هواپیما در مرحله اول به زاویه حمله و سپس به عدد ماخ بستگی دارد. به‌طوری‌که در وضعیت‌هایی که زاویه حمله ثابت بوده یا تغییرات ناچیزی داشته است، میزان بارهای آبرودینامیکی واردہ بر قسمت‌های میانی هواپیما به عدد ماخ بستگی داشته است. همچنین میزان بارهای آبرودینامیکی واردہ بر اجزاء جلویی بدن هواپیما در حین اجرای مانور تقریباً ثابت بوده است.

مهم‌ترین عامل افزایش/ کاهش (در جهت عکس) بارهای آبرودینامیکی واردہ بر اجزاء عقبی هواپیما، کاهش/ افزایش زاویه سکان افقی می‌باشد. به‌طوری‌که علی‌رغم تغییرات عدد ماخ در اکثر قسمت‌های مانور لوپ به‌دلیل ثابت ماندن زاویه سکان افقی میزان بارهای واردہ بر اجزاء عقبی هواپیما ثابت مانده است. تغییرات زاویه شهپرها در طول مانور بررسی شده ناچیز بوده و تأثیری چندانی روی بارهای واردہ بر هواپیما نداشته‌اند.

نتایج حاصله نشان می‌دهد که تعیین معادله از روش برگشت با استفاده از بارهای آبرودینامیکی حاصل از حل عددی و پارامترهای پروازی در شرایط مختلف، روش مناسبی برای محاسبه توزیع بارهای آبرودینامیکی می‌باشد. به‌طوری‌که با به‌دست آوردن مقادیر متغیرهای این معادلات از طریق شبیه‌سازی پروازی، بارهای آبرودینامیکی واردہ بر بدن هواپیما قابل محاسبه است.

مراجع

1. Kandil, O.A., Mook, D.T., and Nayfeh, A.H. "Non-linear Prediction of Subsonic Aerodynamic Loads on Lifting Surfaces", AIAA. J. Aircraft, Vol. 13, No. 1, pp. 22-37, 1975.
2. ZHU, P. and Shou, W. "Non-linear Prediction of Subsonic Aerodynamic Loads on Wings and Bodies at High Angles of Attack", Computer Methods in Applied Mech. and Eng. J, Vol. 26, No. 3, pp. 305-319, 1981.